К. ф.-м. н. В. И. ГАВРЫШ, А. И. КОСАЧ

Украина, Национальный университет «Львовская политехника» E-mail: ikni_pz@polynet.lviv.ua

Дата поступления в редакцию 29.09 2010 г.

Оппонент ∂ . ϕ .-м. н. И. О. ГОРОШЕК (Институт моделтровния в энергетике, г. Киев)

МОДЕЛИРОВАНИЕ ТЕМПЕРАТУРНЫХ РЕЖИМОВ В ЭЛЕМЕНТАХ МИКРОЭЛЕКТРОННЫХ ПРИБОРОВ

Решена граничная задача теплопроводности для изотропной полосы с инородным прямоугольным включением, на одной из границ которой осуществляется конвективный теплообмен с внешней средой, а другая нагревается тепловым потоком.

Процесс проектирования отдельных узлов и элементов конструкций микроэлектронной аппаратуры требует точной математической модели тепловых процессов в структурах с инородными включениями. Для этого необходима разработка новых эффективных методов решения краевых задач теплопроводности, что имеет как теоретическое, так и практическое значение. Учет инородных включений в структурах усложняет математическую модель, однако увеличивает ее точность, что необходимо для обеспечения термоустойчивости структур. Поэтому разработка новых алгоритмов и программных средств для анализа температурных режимов в отдельных узлах и конструкционных элементах микроэлектронной апаратуры является достаточно актуальной задачей.

Некоторые исследования теплопроводности тел одномерной кусочно-однородной структуры были проведены в [1]. В [2] рассмотрены двумерные задачи теплопроводности для кусочно-однородных тел с трещинами, которые сводятся к решению сингулярных интегральных уравнений методом механических квадратур.

Настоящая работа посвящена решению граничной стационарной задачи теплопроводности для изотропной полосы с инородным включением прямоугольной формы, на одной из границ которой осуществляется конвективный теплообмен с внешней средой, а другая нагревается тепловым потоком.

Постановка задачи

Рассмотрим изотропную полосу, содержащую инородное прямоугольное включение площадью 4hl, отнесенную к декартовой системе координат (x0y) с началом в центре включения (**puc. 1**). На границах включения $L_x=\{(x,y):|x|=h,|y\leq l|\}$ и $L_y=\{(x,y):|x\leq h|,|y|=l\}$ заданы условия идеального теплового контакта. На границе полосы $\Gamma_{-}=\{(x,-l-d_{_{\rm H}}):|x|<\infty\}$ осуществляется конвективый теплообмен с внешней средой постоянной температуры $t_{\rm c}$. Другая граница по-

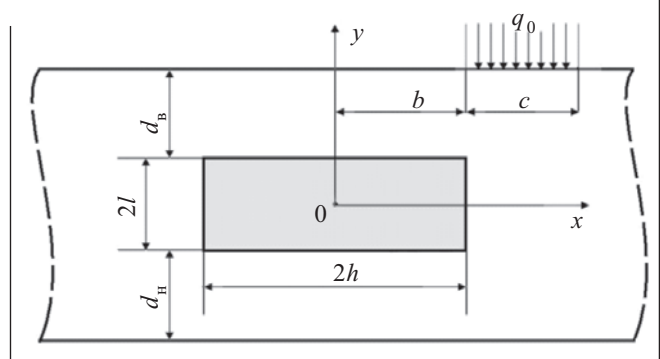


Рис. 1. Изотропная полоса с инородным прямоугольным включением, нагреваемая тепловым потоком

лосы $\Gamma_-=\{(x,l+d_{_{\rm B}}):|x|<\infty$ теплоизолирована за исключением отрезка длиной c, левый конец которого находится на расстоянии от центра включения и на который падает тепловой поток мощностью $q_0=$ const.

Построение исходного уравнения теплопроводности

Распределение стационарного температурного поля t(x, y) в рассматриваемой системе можно получить путем решения уравнения теплопроводности [3, с. 46—58, 4, с. 17—29]

$$\frac{\partial}{\partial x} \left[\lambda(x, y) \frac{\partial \theta}{\partial x} \right] + \frac{\partial}{\partial y} \left[\lambda(x, y) \frac{\partial \theta}{\partial y} \right] = 0 \tag{1}$$

с граничными условиями

$$\lambda_{1} \frac{\partial \theta}{\partial y} \Big|_{y=l+d_{B}} = -q_{0} \left[S_{-}(x-b) + S_{+}(x-b-c) \right];$$

$$\lambda_{1} \frac{\partial \theta}{\partial y} \Big|_{y=-l-d_{H}} = \alpha \theta \Big|_{y=-l-d_{H}},$$

$$\theta \Big|_{|y|\to\infty} = 0,$$
(2)

где $\lambda(x,y)$ — коэффициент теплопроводности неоднородной полосы $\lambda(x,y) = \lambda_1 + (\lambda_0 - \lambda_1) \cdot N(x,h) \cdot N(y,l);$ λ_1,λ_0 — коэффициенты теплопроводности основного материала и материала включения; α — коэффициент теплоотдачи с границы полосы Γ_- ; $\theta = t - t_c;$ $N(x,h) = S_-(x+h) - S_+(x-h);$

ОБЕСПЕЧЕНИЕ ТЕПЛОВЫХ РЕЖИМОВ

 S_{-}, S_{+} — асимметрические единичные функции [5],

$$S_{\pm}(\zeta) = \begin{cases} 1 & \text{при } \zeta > 0; \\ 0.5 \mp 0.5 & \text{при } \zeta = 0; \\ 0 & \text{при } \zeta < 0. \end{cases}$$

Введем функцию [6]

$$T = \lambda(x, y) \cdot \theta \tag{4}$$

и продифференцируем ее по переменным x и y с учетом формулы (3). В результате получим

$$\lambda(x,y)\frac{\partial\theta}{\partial x} = \frac{\partial T}{\partial x} + (\lambda_0 - \lambda_1) \times \\ \times \left[\theta\big|_{x=h} \delta_+(x-h) - \theta\big|_{x=-h} \delta_-(x+h)\right] N(y,l);$$

$$\lambda(x,y)\frac{\partial\theta}{\partial y} = \frac{\partial T}{\partial y} + (\lambda_0 - \lambda_1) \times \\ \times \left[\theta\big|_{y=l} \delta_+(y-l) - \theta\big|_{y=-l} \delta_-(y+l)\right] N(x,h),$$
(5)

где
$$\delta_{\pm}(\zeta) = \frac{dS_{\pm}(\zeta)}{d\zeta}$$
 — асимметрические дельта-фун-

кции Дирака [5], используемые при моделировании многих физических процессов для кусочно-однородных сред.

Подставляя выражения (5) в соотношение (1), приходим к дифференциальному уравнению в частных производных с разрывными и сингулярными коэффициентами:

$$\Delta T + (\lambda_1 - \lambda_0) \left\{ \left[\theta \right|_{x=-h} \delta'_{-}(x+h) - \theta \right|_{x=h} \delta'(x-h) \right\} \times \\ \times N(y,l) + \left[\theta \right|_{y=-l} \delta'_{-}(y+l) - \theta \right|_{y=l} \delta'_{+}(y-l) \right] \times \\ \times N(x,h) = 0.$$
(6)

Здесь $\Delta = \frac{\partial^2}{\partial x^2} + \frac{\partial^2}{\partial y^2}$ — оператор Лапласа в декартовой прямоугольной системе координат.

Нахождение аналитического решения задачи

Аппроксимируем функции $\theta(\pm h, y)$, $\theta(x, \pm l)$ следующим образом [6]:

$$\theta(\pm h, y) = \theta_1^{(\pm h)} + \sum_{j=1}^{n-1} \left(\theta_{j+1}^{(\pm h)} - \theta_j^{(\pm h)} \right) S_-(y - y_j);$$

$$\theta(x, \pm l) = \theta_1^{(\pm l)} + \sum_{k=1}^{m-1} \left(\theta_{k+1}^{(\pm l)} - \theta_k^{(\pm l)} \right) S_-(x - x_k),$$
(7)

где
$$y_i \in]-l;l[; y_1 \le y_2 \le ... \le y_{n-1};$$

$$x_k \in]-h;h[; x_1 \le x_2 \le ... \le x_{m-1};$$

 $\theta_j^{(\pm h)}, \theta_k^{(\pm l)}$ — неизвестные аппроксимирующие значения искомой температуры.

Подставляя выражения (7) в уравнение (6), получаем

$$\Delta T + (\lambda_{1} - \lambda_{0}) \left\{ \left[\theta_{1}^{(-l)} N(y, l) + \sum_{j=1}^{n-1} (\theta_{j+1}^{(-l)} - \theta_{j}^{(-l)}) N(y, y_{j}) \right] \delta'_{-}(x+h) - \left[\theta_{1}^{(l)} N(y, l) + \sum_{j=1}^{n-1} (\theta_{j+1}^{(l)} - \theta_{j}^{(l)}) N(y, y_{j}) \right] \delta'_{+}(x-h) + \left[\theta_{1}^{(-h)} N(x, h) + \sum_{k=1}^{m-1} (\theta_{k+1}^{(-h)} - \theta_{k}^{(-h)}) N(x, x_{k}) \right] \delta'_{-}(y+l) - \left[\theta_{1}^{(h)} N(x, h) + \sum_{k=1}^{m-1} (\theta_{k+1}^{(h)} - \theta_{k}^{(-h)}) N(x, x_{k}) \right] \delta'_{+}(y-l) \right\} = 0.$$
 (8)

где
$$N(y, y_j) = S_-(y-y_j) - S_+(y-l)$$
;

$$N(x, x_k) = S_{-}(x-x_k) - S_{+}(x-h)$$
.

Применив интегральное преобразование Фурье по координате к уравнению (8) и граничным условиям (2) с учетом соотношения (4), приходим к обыкновенному дифференциальному уравнению с постоянными коэффициентами

$$\frac{d^{2}\overline{T}}{dy^{2}} - \xi^{2}\overline{T} = \frac{i}{\sqrt{2\pi}} (\lambda_{1} - \lambda_{0}) \Big\{ \xi \Big[e^{-ih\xi} \Big(\theta_{1}^{(-l)} N(y, l) + \\
+ \sum_{k=1}^{n-1} (\theta_{k+1}^{(-l)} - \theta_{k}^{(-l)}) N(y, y_{k}) \Big) - e^{ih\xi} \Big(\theta_{1}^{(l)} N(y, l) + \\
+ \sum_{k=1}^{n-1} (\theta_{k+1}^{(l)} - \theta_{k}^{(l)}) N(y, y_{k}) \Big) \Big] + \frac{1}{\xi} \Big[\Big(2\theta_{1}^{(-h)} \cdot \sinh ih\xi + \\
+ \sum_{j=1}^{m-1} (\theta_{j+1}^{(-h)} - \theta_{j}^{(-h)}) (e^{ih\xi} - e^{ix_{k}\xi}) \Big) \delta'_{-}(y+l) - \\
- \Big((2\theta_{1}^{(h)} \cdot \sinh ih\xi + \sum_{j=1}^{m-1} (\theta_{j+1}^{(h)} - \theta_{j}^{(h)}) \times \\
\times (e^{ih\xi} - e^{ix_{k}\xi}) \Big) \delta'_{+}(y-l) \Big] \Big\} \tag{9}$$

и граничным условиям

$$\frac{d\overline{T}}{dy}\Big|_{y=-l-d_{\mathrm{H}}} = \frac{\alpha}{\lambda_{1}} \overline{T}\Big|_{y=-l-d_{\mathrm{H}}},$$

$$\frac{d\overline{T}}{dy}\Big|_{y=l+d_{\mathrm{B}}} = \frac{iq_{0}}{\sqrt{2\pi}\xi} e^{i\xi b} (e^{i\xi c} - 1),$$
(10)

где \overline{T} — трансформанта функции T, $\overline{T}=\frac{1}{\sqrt{2\pi}}\int\limits_{-\infty}^{\infty}e^{i\zeta x}Tdx$;

ξ — параметр интегрального преобразования Фурье;
 миммая единица.

Неоднородное дифференциальное уравнение (9) решено методом вариации постоянных. С использованием граничных условий (10) получено частное решение граничной задачи (9), (10). Затем, применив обратное интегральное преобразование Фурье, получим выражение

ОБЕСПЕЧЕНИЕ ТЕПЛОВЫХ РЕЖИМОВ

$$T = \frac{1}{\pi} \int_{0}^{\infty} \left\{ \frac{q_{0}}{\xi} P(\xi, y) \Phi(\xi, x) + (\lambda_{0} - \lambda_{1}) \times \right.$$

$$\times \left[\theta_{1}^{(-h)} \left(\sin \xi(x+h) - \theta_{1}^{(h)} \sin \xi(x-h) \right) \times \right.$$

$$\times \Phi_{1}(\xi, y) + \sin \xi(x+h) \sum_{j=1}^{m-1} (\theta_{j+1}^{(-h)} - \theta_{j}^{(-h)}) \Phi(\xi, y, y_{j}) - \right.$$

$$- \sin \xi(x-h) \sum_{j=1}^{m-1} (\theta_{j+1}^{(h)} - \theta_{j}^{(h)}) \Phi(\xi, y, y_{j}) +$$

$$+ \Phi_{2}(\xi, y) (2\theta_{1}^{(-l)} \sin h\xi \cdot \cos x\xi - \sum_{k=1}^{m-1} (\theta_{k+1}^{(-l)} - \theta_{k}^{(-l)}) F(\xi, x, x_{k})) + \Phi_{3}(\xi, y) (2\theta_{1}^{(l)} \sin h\xi \cdot \cos x\xi - \sum_{k=1}^{m-1} (\theta_{k+1}^{(-l)} - \theta_{k}^{(-l)}) F(\xi, x, x_{k})) \right] d\xi.$$

$$(11)$$

Здесь

$$\begin{split} &\Phi(\xi,x) = \sin \xi(b-x) + \sin \xi(x-b-c); \\ &\Phi_1(\xi,y) = \frac{1}{\xi} F(\xi,y) - P(\xi,y) f(\xi); \\ &\Phi(\xi,y,y_j) = \frac{1}{\xi} F(\xi,y,y_j) - P(\xi,y) f(\xi,y_j); \\ &\Phi_2(\xi,y) = P(\xi,y) \text{sh} \xi(2l+d_{_{\rm B}}) - \frac{1}{\xi} \text{ch} \xi(y+l) S_-(y+l); \\ &\Phi_3(\xi,y) = \frac{1}{\xi} \text{ch} \xi(y-l) S_+(y-l) - P(\xi,y) \text{sh} \xi d_{_{\rm B}}; \\ &P(\xi) = \xi \left[\text{sh} \xi(l+d_{_{\rm B}}) P_1(\xi) + \text{ch} \xi(l+d_{_{\rm B}}) P_2(\xi) \right]; \\ &P_1(\xi) = \lambda_1 \xi \text{ch} \xi(l+d_{_{\rm H}}) + \alpha \text{sh} \xi(l+d_{_{\rm H}}); \\ &P_2(\xi) = \lambda_1 \xi \text{sh} \xi(l+d_{_{\rm H}}) + \alpha \text{ch} \xi(l+d_{_{\rm H}}); \\ &P(\xi,y) = \frac{1}{P(\xi)} \left[P_1(\xi) \text{ch} \xi y + P_2(\xi) \text{sh} \xi y \right]; \\ &F(\xi,y) = \text{ch} \xi(y+l) S_-(y+l) - \text{ch} \xi(y-l) \times \times S_+(y-l) - N(y,l); \\ &F(\xi,y,y_j) = \text{ch} \xi(y-y_j) S_-(y-y_j) - \text{ch} \xi(y-l) \times \times S_+(y-l) - N_j(y,y_j); \\ &F(\xi,x,x_k) = \sin \xi(x-h) - \sin \xi(x-x_k); \\ &f(\xi) = \text{sh} \xi(2l+d_{_{\rm B}}) - \text{sh} \xi d_{_{\rm B}}; \\ &f(\xi,y_i) = sh \xi(l+d_{_{\rm B}}-y_i) - \text{sh} \xi d_{_{\rm B}}. \end{split}$$

Неизвестные аппроксимирующие значения темпе-

ратуры
$$\theta_j^{(\pm h)}$$
 ($j=1,...,n-1$), $\theta_j^{(\pm l)}$ ($k=1,...,m-1$) находим, решая систему $2(n+m)$ линейных алгебраических уравнений, полученную из выражения (11).

Таким образом, искомое температурное поле в неоднородной полосе описывается формулой (11). Из соотношения (11) получаем значение температуры в любой точке полосы и инородного включения.

Анализ численных результатов

Численный анализ безразмерной избыточной температуры $T^* = \frac{T}{q_0 h}$ проводился при фиксированном

значении критерия Био $\text{Bi} = \frac{\alpha h}{\lambda_1}$ и следующих исходных данных: материал полосы — керамика BK94—I (λ_1 =13,4 Bt/(м·K)), материал включения — серебро (λ_0 =419 Bt/(м·K)), количество разбиений отрезков]–h;h[и]–l;l[— n=m=5; L=l/h=2; D_{B} = d_{B} /h; B=b/h=2;

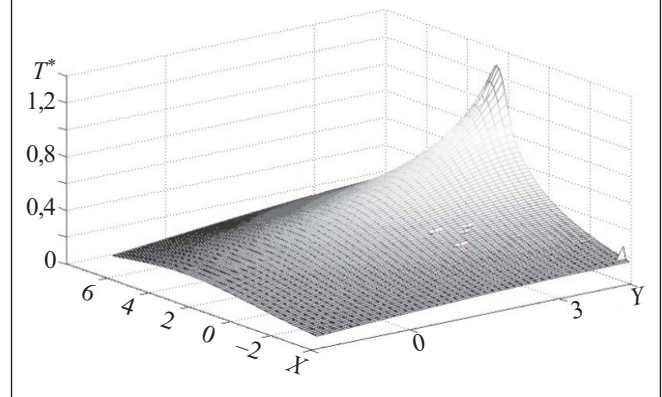


Рис. 2. Распределение избыточной безразмерной температуры T^* по площади изотропной полосы при $D_{_{\rm H}}\!=\!1,\,{\rm Bi}\!=\!5$

На **рис. 2** изображено полученное температурное поле рассматриваемой изотропной полосы в безразмерных координатах X=x/h и Y=y/h при $D_{_{\rm H}}=d_{_{\rm H}}/h=1$ и Ві=5. Как видим, температура достигает максимального значения на границе полосы $Y=L+D_{_{\rm B}}$, т. е. в области непосредственного воздействия теплового потока, а при $-4 \le X \le 4$, $-1,5 \le Y \le 0$ и $-4 < X \le 0$, $0 < Y \le 4$ она практически равна температуре среды.

На **рис. 3** показано изменение температуры T на границах включения, откуда видно, что она практически равна температуре среды при $X \le -12$, $X \ge 17$ на границах, где Y = const, и при $Y \le -2,75$ на границах, где X = const.

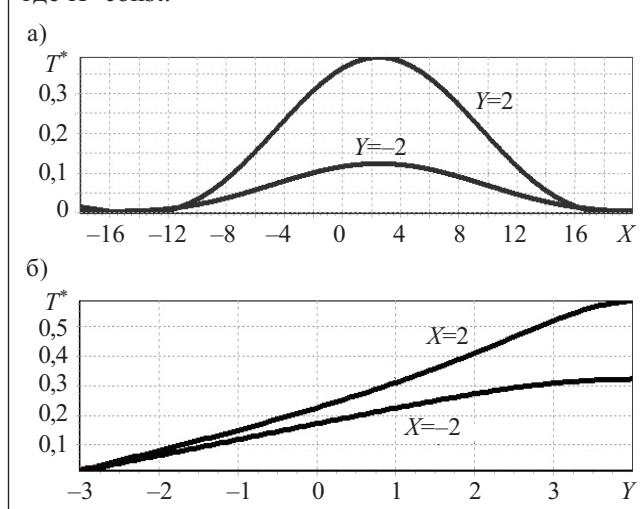


Рис. 3. Изменение избыточной безразмерной температуры T^* на границах включения вдоль осей координат 0x~(a) и $0y~(\delta)$ при $D_{_{
m H}}\!\!=\!\!2$, Bi=5

ОБЕСПЕЧЕНИЕ ТЕПЛОВЫХ РЕЖИМОВ

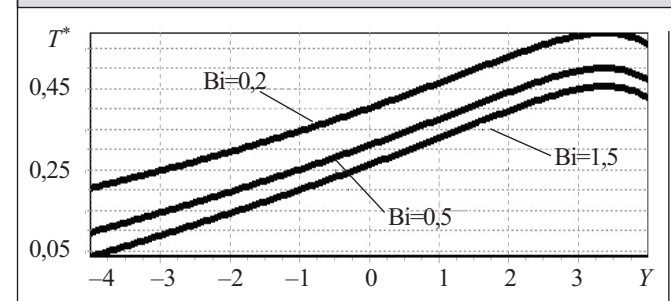


Рис. 4. Изменение избыточной безразмерной температуры T^* вдоль оси координат 0y при X=0 для различных значений критерия Био при D_u =2

Графики на **рис. 4** демонстрируют влияние теплоотдачи на распределение температуры при указанных исходных данных. Здесь видно, что с увеличением критерия Био температура убывает.

Таким образом, в настоящей работе решена граничная стационарная задача теплопроводности для изотропной полосы с инородным включением прямоугольной формы, на одной из границ которой осу-

ществляется конвективный теплообмен с внешней средой, а другая нагревается тепловым потоком.

ИСПОЛЬЗОВАННЫЕ ИСТОЧНИКИ

1. Беляев Н. В., Рядно А. А. Методы теории теплопроводности. Ч. І.— М.: Высш. шк., 1982. [Belyaev N. V., Ryadno A. A. Metody teorii teploprovodnosti. Ch. I. Moscow. Vyssh. shk. 1982]

Metody teorii teploprovodnosti. Ch. I. Moscow. vyssn. sirk. 1982]
2. Саврук М. П., Зеленяк В. М. Двовимірні задачі термопружності для кусково-однорідних тіл з тріщинами: монографія.

Львів: Растр-7, 2009. [Savruk M. P., Zelenyak V. M. Dvovimirni zadachi termopruzhnosti dlya kuskovo-odnoridnikh til z trishchinami: monografiya. L'viv. Rastr-7. 2009]

3. Подстритач Я. С., Ломакин В. А., Коляно Ю. М. Термоуп

3. Подстригач Я. С., Ломакин В. А., Коляно Ю. М. Термоупругость тел неоднородной структуры.— М.: Наука, 1984. [Podstrigach YA. S., Lomakin V. A., Kolyano Yu. M. Termouprugost' tel neodnorodnoi struktury. Moscow. Nauka. 1984]

4. Коляно Ю. М. Методы теплопроводности и термоупругости неоднородного тела.— Киев: Наукова думка, 1992. [Kolyano Yu. M. Metody teploprovodnosti i termouprugosti neodnorodnogo tela. Kiev. Naukova dumka. 1992]

5. Корн Т., Корн Т. Справочник по математике для научных работников и инженеров. М.: Наука, 1977. [Korn G., Korn T. Spravochnik po matematike dlya nauchnykh rabotnikov i inzhenerov. Moscow. Nauka. 1977]

6. Коляно Ю. М., Кричевец Ю. М., Гаврыш В. И. Уравнение теплопроводности для элементов микроэлектроники.— Часть II // Радиоэлектронное материаловедение.— Львов, 1989.— С. 175—183. [Kolyano Yu. M., Krichevets Yu. M., Gavrysh V. I. Uravnenie teploprovodnosti dlya elementov mikroelektroniki. Chast' II // Radioelektronnoe materialovedenie. L'vov. 1989. P. 175

K. m. H. $\Gamma.$ H. UUЛО, E. B. $OГРЕНИЧ, <math>\kappa.$ m. H. H. $\Pi.$ $\Gamma A\Pi OHEHKO$

Украина, Запорожский национальный технический университет E-mail: gshilo@zntu.edu.ua, chipmob@gmail.com

Дата поступления в редакцию 19.07 20010 г. Оппонент к. т. н. В. Е. ТРОФИМОВ (ОНПУ. г. Одесса)

ПРОЕКТИРОВАНИЕ РАДИАТОРОВ С ОПТИМАЛЬНЫМИ МАССОГАБАРИТНЫМИ ПАРАМЕТРАМИ

Предложенный метод может использоваться для проектирования любых ребристых радиаторов и приводит к снижению массы более чем в 2,5 раза при увеличении объема в 1,5 раза.

Мощные полупроводниковые приборы, которые широко применяются в преобразовательной технике и в выходных каскадах систем управления, имеют ограниченную допустимую температуру *p*—*n*-переходов [1]. Обычно эти приборы очень компактны и имеют высокое тепловое сопротивление между корпусом прибора и окружающей средой. Для обеспечения их теплового режима при значительных уровнях мощности разработчики радиоаппаратуры обычно используют радиаторы. Существует большое количество радиаторов [2, 3], отличающихся типом оребрения (ребристые, штыревые, проволочные, гофрированные) и формой основания (пластина, цилиндр).

В [4] показано, что при оптимальном распределении температуры вдоль теплоотводящих элементов радиаторов возможно значительное уменьшение их массы и габаритов. Возможность уменьшения массы и объема ребристых радиаторов показана в [5, 6], однако оптимизация проводилась при заданной толщи-

не ребер и, кроме того, в использованных моделях не учитывался трехмерный характер температурного поля в основании радиатора. При расчете тепловых режимов радиаторов использовались граничные условия 3-го рода и приближенные соотношения для коэффициентов теплоотдачи.

Существенное увеличение точности расчетов можно получить при использовании средств инженерного проектирования [7—9], позволяющих моделировать распределение температуры в сложных конструкциях устройств различного применения. В сочетании с алгоритмами оптимизации это открывает путь к разработке методов проектирования радиаторов, учитывающих любые конструктивные и технологические ограничения.

Целью настоящей работы является разработка методов проектирования ребристых радиаторов с оптимальными массогабаритными параметрами на основе использования средств инженерного проектирования.

Тепловая модель ребристого радиатора

Построение модели радиатора в среде инженерного проектирования делится на этапы:

- создание трехмерной модели твердого тела по заданным размерам;
- задание теплофизических параметров материала радиатора и параметров теплоносителя;